

УДК 532.5 : 535.214

ДЕФОРМАЦИЯ СВОБОДНОЙ ПОВЕРХНОСТИ ЖИДКОСТИ ПОД ДЕЙСТВИЕМ СВЕТОВОГО ДАВЛЕНИЯ

1. ТЕОРИЯ

Г. В. Островская

Задача о деформации свободной поверхности жидкости под действием светового давления решена для случая осесимметричного распределения излучения в пятне фокусировки. Приближенные уравнения Стокса решались с помощью преобразования Лапласа по времени и преобразования Ханкеля по радиусу. Численные расчеты выполнены для случая короткого лазерного импульса и гауссова распределения интенсивности в пятне фокусировки.

Деформация поверхности тонких слоев жидкости используется для записи голограмм и визуализации изображений в инфракрасном диапазоне [1]. Регистрируемое излучение при этом обычно поглощается в подложке, на которую нанесен слой жидкости. Модуляция рельефа поверхности жидкости происходит за счет температурной зависимости коэффициента поверхностного натяжения. Время стирания информации в этом случае определяется, с одной стороны, скоростью выравнивания температуры за счет теплопроводности, а с другой — гидродинамическими процессами в жидкой пленке, скорость протекания которых определяется толщиной слоя [2].

Деформация свободной поверхности жидкости, не связанная с тепловыми эффектами, используется в акустической голографии [3]. При этом поверхность деформируется акустическим давлением.

Аналогично этому в принципе возможна регистрация голограмм и оптических изображений за счет светового давления p_0 , связанного с интенсивностью излучения I соотношением

$$p_0 = (2IR \cos \varphi)/c, \quad (1)$$

где R — коэффициент отражения, φ — угол падения излучения на поверхность, c — скорость света.

Наличие в знаменателе выражения (1) величины c приводит к тому, что значения p_0 , необходимые для создания экспериментально обнаружимых деформаций, достигаются при столь высоких значениях интенсивности излучения, для получения которых необходима фокусировка излучения мощных лазеров на поверхность жидкости.

В настоящей работе приводятся результаты теоретических расчетов динамики формирования рельефа поверхности за счет светового давления под действием импульсного лазерного излучения при его фокусировке в пятно малого радиуса на поверхности, что соответствует в первом приближении случаю цилиндрической симметрии.

В работе [4] будут описаны результаты экспериментального исследования деформации поверхности под действием светового давления, выполненные методом голографической интерферометрии.

1. Задача о деформации свободной поверхности жидкости в случае цилиндрической симметрии

Задача о деформации поверхности вязкой несжимаемой жидкости под действием поверхностных сил сводится к решению приближенных уравнений Стокса [5]

$$\frac{\partial \mathbf{V}}{\partial t} = -\frac{\Delta p}{\rho} + \frac{\mu}{\rho} \Delta \mathbf{V}, \quad \operatorname{div} \mathbf{V} = 0, \quad (2)$$

где \mathbf{V} — скорость, p — давление, ρ — плотность жидкости, μ — ее динамическая вязкость при определенных начальных и граничных условиях.

В [6] найдена форма поверхности тонкой жидкостной пленки, деформируемой за счет градиентов плотности и поверхностного натяжения, обусловленного неоднородным нагревом жидкости. Для случая синусоидальной периодической силы, действующей на поверхность, эта задача решена в [2]. Применительно к термопластической записи информации задача о деформации поверхности решалась в работах [7-9]. При этом для решения задачи использовались двойное преобразование Фурье по координатам x и y и преобразование Лапласа по времени.

В нашем случае, предполагая, что внешнее давление на поверхность зависит только от одной координаты r , мы решаем уравнения (2) для случая цилиндрической симметрии, используя преобразование Ханкеля по координате r и преобразование Лапласа по времени. Полагая $V_\varphi = 0$, $\partial V_r / \partial \varphi = 0$, $\partial V_z / \partial \varphi = 0$ и записав (2) в цилиндрических координатах, имеем следующие уравнения для составляющих скорости и давления:

$$\begin{aligned} \frac{\partial V_r}{\partial t} + \frac{1}{\rho} \frac{\partial p}{\partial r} - \frac{\mu}{\rho} \frac{\partial}{\partial z} \left(\frac{\partial V_r}{\partial z} - \frac{\partial V_z}{\partial r} \right) &= 0, \\ \frac{\partial V_z}{\partial t} + \frac{1}{\rho} \frac{\partial p}{\partial z} + \frac{\mu}{\rho} \frac{1}{r} \frac{\partial}{\partial r} \left[r \left(\frac{\partial V_r}{\partial z} - \frac{\partial V_z}{\partial r} \right) \right] &= 0, \\ \frac{1}{r} \frac{\partial}{\partial r} (r V_r) + \frac{\partial V_z}{\partial z} &= 0. \end{aligned} \quad (3)$$

Система (3) решается при начальных условиях $V_r|_{t=0} = 0$ и $V_z|_{t=0} = 0$. Условия на свободной поверхности (т. е. при $z=0$) [9] в цилиндрических координатах имеют вид

$$\begin{aligned} \frac{\partial V_r}{\partial z} + \frac{\partial V_z}{\partial r} &= 0, \\ p - \rho g h - 2\mu \frac{\partial V_z}{\partial z} + \tau \left(\frac{1}{r} \frac{\partial h}{\partial r} + \frac{\partial^2 h}{\partial r^2} \right) + p_0 &= 0, \end{aligned} \quad (4)$$

где g — ускорение силы тяжести, τ — коэффициент поверхностного натяжения, p_0 — внешнее давление, h — деформация поверхности

$$h = h_0(r) + \int_0^t V_z \Big|_{z=0} dt. \quad (5)$$

Для случая толстых слоев жидкости считаем также, что V_z и V_r стремятся к нулю при $z \rightarrow -\infty$.

Применив к (3) последовательно преобразование Ханкеля и Лапласа, получим следующую систему уравнений:

$$\begin{aligned} s U_r - \frac{\alpha}{\rho} Q - \frac{\mu}{\rho} \frac{\partial^2 U_r}{\partial z^2} - \frac{\mu \alpha}{\rho} \frac{\partial U_z}{\partial z} &= 0, \\ s U_z + \frac{1}{\rho} \frac{\partial Q}{\partial z} + \frac{\mu \alpha}{\rho} \frac{\partial U_r}{\partial z} + \frac{\mu \alpha^2}{\rho} U_z &= 0, \\ \alpha U_r + \frac{\partial U_z}{\partial z} &= 0, \end{aligned} \quad (6)$$

где

$$\begin{aligned}
 U_r(z, s, \alpha) &= \int_0^{\infty} e^{-st} \int_0^{\infty} r J_1(\alpha r) V_r dr dt, \\
 U_z(z, s, \alpha) &= \int_0^{\infty} e^{-st} \int_0^{\infty} r J_0(\alpha r) V_z dr dt, \\
 Q(z, s, \alpha) &= \int_0^{\infty} e^{-st} \int_0^{\infty} r J_0(\alpha r) p dr dt.
 \end{aligned} \tag{7}$$

Граничные условия (4) при этом преобразуются к виду

$$\begin{aligned}
 \left. \frac{\partial U_r}{\partial z} \right|_{z=0} - \alpha U_z|_{z=0} &= 0, \\
 Q|_{z=0} - \frac{1}{s} (\rho g + \alpha \alpha^2) H_0 - \frac{1}{s} (\rho g + \alpha \alpha^2) U_z|_{z=0} - 2\mu \left. \frac{\partial U_z}{\partial z} \right|_{z=0} + Q_0 &= 0,
 \end{aligned} \tag{8}$$

где

$$\begin{aligned}
 Q_0(s, \alpha) &= \int_0^{\infty} e^{-st} \int_0^{\infty} r J_0(\alpha r) p_0(r, t) dr dt, \\
 H_0(\alpha) &= \int_0^{\infty} r J_0(\alpha r) h_0(r) dr.
 \end{aligned}$$

Решение системы дифференциальных уравнений (6), удовлетворяющее граничным условиям (8), имеет вид

$$\begin{aligned}
 U_z &= -C \frac{(A^2 + 1) e^{\alpha z} - 2e^{\alpha A z}}{A^2 - 1}, \\
 U_r &= C \frac{(A^2 + 1) e^{\alpha z} - 2A e^{\alpha A z}}{A^2 - 1}, \\
 Q &= \frac{\rho s}{\alpha} C \frac{(A^2 + 1) e^{\alpha z}}{A^2 - 1},
 \end{aligned} \tag{9}$$

где

$$A^2 = 1 + \frac{\rho S}{\mu \alpha^2}, \quad C = \frac{\rho}{\mu^2 \alpha^3} \frac{(\alpha \alpha^2 + \rho g) H_0 - Q_0 s}{(A^2 + 1)^2 - 4A + \Delta(\alpha)}, \quad \Delta(\alpha) = \frac{\rho}{\mu^2 \alpha^3} (\rho g + \alpha \alpha^2).$$

Зная U_z , можно найти V_z с помощью обратных преобразований Ханкеля и Лапласа, а именно:

$$V_z(z, r, t) = \int_0^{\infty} \alpha J_0(\alpha r) W_z(z, t, \alpha) d\alpha,$$

где W_z — оригинал по Лапласу функции U_z . Тогда для деформации поверхности в соответствии с (5) имеем

$$h(r, t) = h_0(r) + \int_0^t \int_0^{\infty} \alpha J_0(\alpha r) W_z|_{z=0} da dt, \tag{10}$$

где $W_z|_{z=0}$ — оригинал по Лапласу функции

$$U_z|_{z=0} = -\frac{\rho}{\mu^2 \alpha^3} \frac{(\alpha \alpha^2 + \rho g) H_0 - Q_0 s}{(A^2 + 1)^2 - 4A + \Delta(\alpha)}.$$

2. Деформация поверхности жидкости под действием короткого сфокусированного лазерного импульса

Будем считать, что в начальный момент времени поверхность плоская, т. е. $h_0(r) = 0$ и, следовательно, $H_0 = 0$. Интенсивность излучения, создающего световое давление, представим в виде произведения двух функций, одна из которых $f_1(t)$ характеризует изменение интенсивности во времени, а вторая $f_2(r)$ — ее распределение в пространстве. Тогда

$$p_0 = \frac{2R \cos \varphi}{c} f_1(t) f_2(r), \quad Q_0 = \frac{2R \cos \varphi}{c} F(s) R(\alpha),$$

где

$$F(s) = \int_0^{\infty} e^{-st} f_1(t) dt, \quad R(\alpha) = \int_0^{\infty} r J_0(\alpha r) f_2(r) dr.$$

Выражение (10) для деформации поверхности при этом принимает вид

$$h(r, t) = \frac{2R_p \cos \varphi}{c \mu^2} \int_0^t \int_0^{\infty} \frac{J_0(\alpha r) R(\alpha)}{\alpha^2} \varphi(\alpha, t) \alpha d\alpha dt, \quad (11)$$

где $\varphi(\alpha, f)$ — оригинал по Лапласу функции

$$\chi(\alpha, s) = \frac{sF(s)}{(A^2 + 1)^2 - 4A + \Delta(\alpha)}. \quad (12)$$

Рассмотрим случай деформации поверхности под действием лазерного импульса длительностью Δt , сфокусированного в пятно с характерным размером a . Распределение интенсивности в пределах пятна будем считать гауссовым. Тогда

$$f_1(t) = \begin{cases} 1 & \text{при } 0 \leq t \leq \Delta t, \\ 0 & \text{при } t > \Delta t, \end{cases}$$

$$f_2(r) = I_0 e^{-r^2/a^2},$$

где интенсивность излучения в центре пятна связана с энергией лазерного импульса соотношением $I_0 = E/\pi \Delta t a^2$, откуда

$$R(\alpha) = \frac{E}{2\pi \Delta t} e^{-\alpha^2 a^2/4}. \quad (13)$$

Учитывая быстрый спад подынтегральной функции в (11) с ростом α , можно считать, что основной вклад в интеграл вносят значения $\varphi(\alpha, t)$, соответствующие малым α , для которых $\Delta(\alpha) \gg 1$. При этом полином

$$P(A) = (A^2 + 1)^2 - 4A + \Delta(\alpha),$$

стоящий в знаменателе выражения (12), имеет корни

$$A_{1, 2, 3, 4} \approx \pm \left[\sqrt{\frac{\sqrt{\Delta} - 1}{2}} \pm i \sqrt{\frac{\sqrt{\Delta} + 1}{2}} \right]$$

и может быть приближенно представлен в виде

$$P(A) \simeq (A^2 + 1 - i\sqrt{\Delta})(A^2 + 1 + i\sqrt{\Delta}).$$

Тогда $\chi(\alpha, s)$ можно записать в виде

$$\chi(\alpha, s) = \left(\frac{\mu \alpha^2}{\rho} \right)^2 \frac{sF(s)}{(s + s_1)(s + s_2)},$$

где

$$s_{1, 2} = \frac{\mu \alpha^2}{\rho} (2 \pm i\sqrt{\Delta}) = \frac{2\mu \alpha^2}{\rho} \pm i \alpha^{1/2} \sqrt{g + \frac{c}{\rho} \alpha^2}.$$

Поскольку оригинал функции $s/(s + s_1)(s + s_2)$ равен $(s_1 e^{-s_1 t} - s_2 e^{-s_2 t})/(s_1 - s_2)$, а оригинал $F(s)$ есть $f_1(t)$, на основании теоремы о свертке находим $\varphi(\alpha, t)$, являющуюся оригиналом функции $\chi(\alpha, s)$

$$\varphi(\alpha, t) = \left(\frac{\mu\alpha^2}{\rho}\right)^2 \frac{1}{(s_1 - s_2)} \int_0^t f_1(t - \tau) (s_1 e^{-s_1 \tau} - s_2 e^{-s_2 \tau}) d\tau,$$

откуда для прямоугольного лазерного импульса получим

$$\varphi|_{t < \Delta t}(\alpha, t) = \left(\frac{\mu\alpha^2}{\rho}\right)^2 \frac{1}{(s_1 - s_2)} \int_0^t (s_1 e^{-s_1 \tau} - s_2 e^{-s_2 \tau}) d\tau \cong \frac{\mu^2 \alpha^4 t}{\rho^2},$$

$$\varphi|_{t > \Delta t}(\alpha, t) = \left(\frac{\mu\alpha^2}{\rho}\right)^2 \frac{1}{(s_1 - s_2)} \int_{t - \Delta t}^t (s_1 e^{-s_1 \tau} - s_2 e^{-s_2 \tau}) d\tau \cong \frac{\mu^2 \alpha^4 \Delta t}{\rho^2} \frac{s_1 e^{-s_1 t} - s_2 e^{-s_2 t}}{s_1 - s_2}. \quad (14)$$

Подставив в (11) $\varphi(\alpha, t)$ из (14) и $R(\alpha)$ из (13) и выполнив интегрирование по времени, получим

$$h|_{t < \Delta t}(r, t) = \frac{K t^2}{2 \Delta t} \int_0^\infty \alpha^2 J_0(\alpha r) e^{-\alpha^2 a^2 / 4} d\alpha,$$

$$h|_{t > \Delta t}(r, t) = K \left[\int_0^\infty \frac{\alpha^{3/2} J_0(\alpha r) e^{-\alpha^2 \left(\frac{a^2}{4} + 2 \frac{\mu}{\rho} t\right)} \sin\left(\alpha^{1/2} t \sqrt{g + \frac{\sigma}{\rho} \alpha^2}\right) d\alpha}{\alpha^{1/2} \sqrt{g + \frac{\sigma}{\rho} \alpha^2}} - \frac{\Delta t}{2} \int_0^\infty \alpha^2 J_0(\alpha r) e^{-\alpha^2 a^2 / 4} d\alpha \right], \quad (15)$$

где

$$K = (ER \cos \varphi) / \pi \rho c.$$

Для $t \gg \Delta t$ вторым слагаемым в квадратных скобках можно пренебречь. Тогда

$$h(r, t) \approx K \int_0^\infty \frac{\alpha^{3/2} J_0(\alpha r) e^{-\alpha^2 \left(\frac{a^2}{4} + 2 \frac{\mu}{\rho} t\right)} \sin\left(\alpha^{1/2} t \sqrt{g + \frac{\sigma}{\rho} \alpha^2}\right) d\alpha}{\sqrt{g + \frac{\sigma}{\rho} \alpha^2}}. \quad (16)$$

Учитывая быстрый спад подынтегральной функции с ростом α , для сравнительно малых значений t можно положить

$$\frac{\sin\left(\alpha^{1/2} t \sqrt{g + \frac{\sigma}{\rho} \alpha^2}\right)}{\sqrt{g + \frac{\sigma}{\rho} \alpha^2}} \approx \alpha^{1/2} t.$$

Тогда из (16) можно получить аналитическое выражение для радиального профиля деформации

$$h(r, t) \cong K t \int_0^\infty \alpha^2 J_0(\alpha r) e^{-\alpha^2 a^2 / 4} d\alpha = \frac{2 K t \sqrt{\pi}}{a^3} e^{-r^2 / 2 a^2} \left\{ \left(1 - \frac{r^2}{a^2}\right) I_0\left(\frac{r^2}{2 a^2}\right) + \frac{r^2}{a^2} I_1\left(\frac{r^2}{2 a^2}\right) \right\}, \quad (17)$$

где I_0, I_1 — функции Бесселя второго рода.

Результаты численного интегрирования выражения (16) для ряда моментов времени в диапазоне от 0.5 до 10 мс представлены на рис. 1. Штрихом нанесены результаты расчета $h(r, t)$ по формуле (17) для момента времени 0.5 мс.

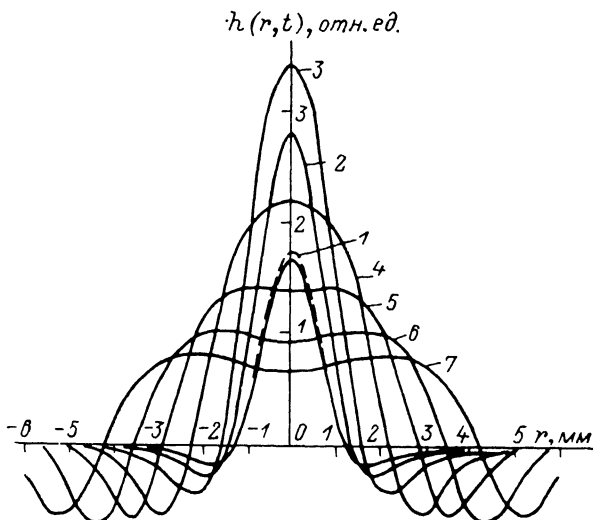


Рис. 1. Радиальный профиль деформации $h(r, t)/K$ для моментов времени $0.5 \cdot 10^{-3}$ (1), $1 \cdot 10^{-3}$ (2), $2 \cdot 10^{-3}$ (3), $4 \cdot 10^{-3}$ (4), $6 \cdot 10^{-3}$ (5), $8 \cdot 10^{-3}$ (6), 10^{-2} с (7).

На рис. 2 показано изменение со временем деформации в центре при разных размерах a пятна фокусировки. При расчетах предполагалось, что излучение импульсного лазера фокусируется на поверхность воды ($\sigma=73$ дин/см, $\rho=1$ г/см³, $\mu=10^{-2}$ г/см·с). Для оценки абсолютных значений деформации положим $a=0.1$ см, $R=1$, что соответствует полному внутреннему отражению и

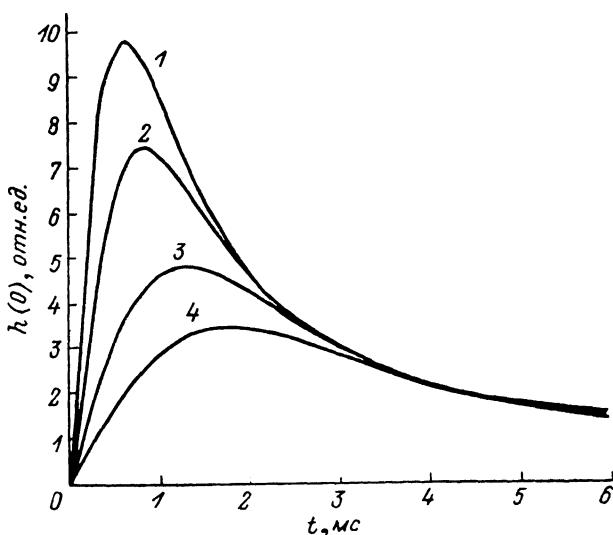


Рис. 2. Изменение со временем деформации в центре при размерах пятна фокусировки $a=0.05$ (1), 0.06 (2), 0.08 (3) и 0.1 см (4).

достигается при падении излучения на поверхность со стороны жидкости под углом $\varphi \geq \varphi_{\text{пред}} = \arcsin 1/n$ (n — показатель преломления, равный для воды 1.33). Положив $\varphi = \varphi_{\text{пред}}$, $c = c_{\text{вак}}/n$, $E=0.5$ Дж, найдем $K=4.6 \cdot 10^{-5}$, откуда максимальное значение деформации в центре пятна фокусировки, достигающееся, как следует из рис. 2, при $t \approx 2$ мс, равно $h_{\text{max}}(0) = 1.5 \cdot 10^{-4}$ см, что соответствует 2—3 длинам волн видимого излучения и легко может быть измерено интерферометрическим методом.

Результаты экспериментального измерения деформации поверхности жидкости под действием светового давления опубликованы в работе^[4].

Автор благодарит С. Ю. Карпова и Ю. В. Погорельского за полезные дискуссии, а также М. И. Вильджунаса и Э. Н. Колесникову за помощь в выполнении численных расчетов.

Литература

- [1] Глушков А. С., Константинов В. Б., Черных Д. Ф. В сб.: Применение методов оптической обработки информации и голографии. Л., 1980, с. 423—435.
- [2] Budd H. F. J. Appl. Phys., 1965, v. 36, N 5, p. 1613—1616.
- [3] Sheridan N. K. In: Acoustical Holography. Plenum Press N. Y., 1970, v. 2, p. 275—288.
- [4] Комиссарова И. И., Островская Г. В., Шедова Е. Н. ЖТФ, 1988, т. 58, № 4, с. 769—772.
- [5] Слезкин Н. А. Динамика вязкой несжимаемой жидкости. М., 1955.
- [6] Ландау Л. Д., Лифшиц Е. М. Теоретическая физика, т. 6. Гидродинамика. М., Наука, 1986.
- [7] Гуцо Ю. П., Ионкин П. А. Журн. науч. и прикл. фотографии и кинематографии, 1967, т. 12, № 3, с. 166—172.
- [8] Гуцо Ю. П. Журн. науч. и прикл. фотографии и кинематографии, 1972, т. 17, № 1, с. 49—51.
- [9] Гуцо Ю. П. Фазовая рельефография. М.: Энергия, 1974.

Физико-технический институт
им. А. Ф. Иоффе АН СССР
Ленинград

Поступило в Редакцию
27 февраля 1987 г.